

การจำลองระบบตรวจวัตถุระเบิดที่ใช้เทคนิคการกระตุ้นด้วยนิวตรอนอุณหภูมิโดยโปรแกรมมอนติคาร์โล

วรศิษย์ อุชัย*

Worasit U-Chai,* (2005). Monte Carlo Simulation of the Explosive Detection System Using Thermal Neutron Activation Technique. Suranaree J. Sci. Technol. 12(2):132-142.

Received: Dec 23, 2004; Revised: Apr 18, 2005; Accepted: Apr 21, 2005

Abstract

In this research, Monte Carlo simulation of the Explosive Detection System (EDS) using Thermal Neutron Activation (TNA) technique was performed. MCNP-4C Monte Carlo program was used for the simulation and the prototype of the EDS is a luggage inspection system using TNA technique with ^{252}Cf as neutron source. Six vertical arrayed-gamma ray detectors were used to detect gamma ray fluxes resulted from thermal neutron activation of nuclei of the interrogated materials. Gamma ray fluxes of the six arrayed-gamma ray detectors are calculated for comparison. Polyethylene is used as the neutron moderator and shielding. Samples used in the simulation include silk, wool, nylon and explosive(C-4) which were put in the luggage both separately and mixed together. The simulation results show that the EDS using TNA technique is able to indicate the existence and positions of explosive.

Keywords: Monte Carlo simulation, MCNP program, explosive detection system, thermal neutron activation technique

บทคัดย่อ

ในการวิจัยครั้งนี้ได้ทำการจำลองระบบตรวจวัตถุระเบิดที่ใช้เทคนิคการกระตุ้นด้วยนิวตรอนโดยการใช้โปรแกรมมอนติคาร์โล โปรแกรมมอนติคาร์โลที่ใช้สำหรับการจำลองครั้งนี้คือ โปรแกรม MCNP-4C และต้นแบบของระบบตรวจวัตถุระเบิดที่ใช้คือ ระบบตรวจกระแสเป้าเดินทางที่ใช้เทคนิคการกระตุ้นด้วยนิวตรอนโดยมีแหล่งกำเนิดนิวตรอนเป็น ^{252}Cf ชุดของหัววัดรังสีแกรมมาจำนวน 6 หัววัดซึ่งวางซ้อนกันในแนวตั้ง ถูกนำมาใช้เพื่อวัดฟลักซ์ของรังสีแกรมมาที่เกิดขึ้นจากการอันตรกิริยาของการกระตุ้นด้วยนิวตรอนอุณหภูมิในนิวเคลียสของวัสดุที่นำมาตรวจสอบ ค่าฟลักซ์ของรังสีแกรมมาระหว่างหัววัดรังสีทั้ง

อาจารย์ประจำสาขาวิชาฟิสิกส์ สำนักวิชาวิทยาศาสตร์ มหาวิทยาลัยเทคโนโลยีสุรนารี 111 ถนนมหาวิทยาลัย ตำบลสุรนารี อำเภอเมือง จังหวัดนครราชสีมา 30000 โทรศัพท์ 0-4422-4597 โทรสาร 0-4422-4293

E-mail: uchai@sut.ac.th

*ผู้เขียนที่ให้การติดต่อ

วารสารเทคโนโลยีสุรนารี 12(2):132-142

๖ หัววัดได้รับการคำนวณเพื่อการเปรียบเทียบ วัสดุลดทดอนพลังงานและวัสดุกำบังรังสีของนิวตรอนที่ใช้ในการจำลองคือ โพลิเอทิลีน สารตัวอย่างที่ใช้ในการจำลองประกอบด้วย ผ้าไนลอน และ วัตถุระเบิด (C-4) โดยการบรรจุสารตัวอย่างเหล่านี้ในกระป๋าเดินทางมีทั้งบรรจุเฉพาะอย่างและบรรจุหลายอย่างไว้ร่วมกัน ผลการจำลองแสดงให้เห็นว่าระบบตรวจวัดถูกระเบิดที่ใช้เทคนิคการกระตุ้นด้วยนิวตรอนสามารถตรวจหาวัตถุระเบิดและดำเนินการของวัตถุระเบิดได้

บทนำ

หลังจากเหตุการณ์การลอบวางระเบิดเครื่องบินของสายการบินแอร์อินเดียที่ประเทศไทย เมื่อปี พ.ศ. 2528 และเครื่องบินของสายการบินແພນ แອມ ที่ประเทศไทยก็ต้องแล่นเมื่อปี พ.ศ. 2531 ทำให้รู้ว่า ระบบตรวจภาระเป้าเดินทางที่มีอยู่ในขณะนั้นไม่สามารถตรวจวัตถุระเบิดบางชนิดได้ ดังนั้นจึงได้มีการศึกษาเพื่อหาเทคนิคใหม่ ๆ ที่จะสามารถตรวจวัตถุระเบิดได้ทุกชนิด เทคนิคที่ได้รับความสนใจในขณะนั้นก็คือ เทคนิคการกระตุ้นด้วยนิวตรอน อุณหภูมิ ซึ่งเรียกชื่อว่า “Thermal Neutron Activation (TNA)” ในเทคนิค TNA (Gozani et al., 1992) นี้ จะใช้อุณภูมิตรวจนเป็นสื่อในการตรวจโดยมีหลักการว่า เมื่อมีอุณหภูมินิวตรอนอุณหภูมิซึ่งมีพลังงานต่ำ (0.025 eV) ไปกระทบกับนิวเคลียสของวัสดุที่นำมาตรวจสอบนิวตรอนอาจถูกดูดกลืนโดยนิวเคลียสนั้น แล้วกลไยเป็นนิวเคลียสที่ถูกกระตุ้นเนื่องจากนิวเคลียสที่ถูกกระตุ้นจะไม่มีเสถียรภาพจึงพยายามกลับสู่สถานะพื้นโดยการปลดปล่อยรังสีแกมมาที่มีพลังงานเฉพาะอุณหภูมิ พลังงานดังกล่าวจะมีค่าแตกต่างกันสำหรับนิวเคลียสต่างชนิดกัน ดังนั้นเราจึงสามารถใช้ข้อมูลของพลังงานของรังสีแกมมาที่เกิดขึ้นเป็นข้อมูลในการวินิจฉัยชนิดของวัสดุที่นำมาตรวจสอบได้

บริษัท Science Application International Corporation (SAIC) ซึ่งเป็นบริษัทในประเทศไทย เป็นบริษัทแรกที่ทำการวิจัยและพัฒนาระบบตรวจวัตถุระเบิดที่ใช้เทคนิค TNA ซึ่งสามารถทำงานได้เป็นที่น่าพอใจ (Michael and Hoopengardner, 1992) อย่างไรก็ตามระบบดังกล่าวมีราคาสูงและน้ำหนักมากเกินไป ต่อมา Bartko and

Ruddy จาก Westinghouse Science & Technology Center (Bartko and Ruddy, 1996) ได้ทำการทดลองเพื่อทดสอบประสิทธิภาพของระบบตรวจวัตถุระเบิดที่ใช้เทคนิค TNA นี้ และได้ผลลัพธ์เป็นที่น่าพอใจ จันในเวลาต่อมาองค์การการบินพลเรือนของสหรัฐอเมริกา (The U.S. Federal Aviation Administration) ได้สนับสนุนการสร้างเครื่องด้านแบบของเทคนิค TNA ขึ้นมาและนำไปทดสอบในสนามบินของเมืองซิกาโกรและฟิลล่าเดลเพีย ผลการทดสอบพบว่าระบบดังกล่าวสามารถตรวจวัตถุระเบิดได้อย่างมีประสิทธิภาพ โดยมีค่าอัตราการตรวจพบ (detection rate) สูงถึง 99.2 เปอร์เซ็นต์ และอัตราการตรวจผิดพลาด (false alarm rate) ต่ำกว่า 5 เปอร์เซ็นต์

ในการวิจัยครั้งนี้ได้ทำการจำลองการทำงานของระบบตรวจวัตถุระเบิดที่ใช้เทคนิค TNA โดยใช้โปรแกรมมอนติคาร์โล MCNP ซึ่งย่อมาจากคำว่า “A General Monte Carlo N-Particle Transport Code” โปรแกรมนี้เป็นโปรแกรมที่ใช้ในการจำลองการเคลื่อนที่ของอนุภาคผ่านสารซึ่งเริ่มต้นพัฒนาขึ้นมาสมัยสหภาพโซเวียตที่ 2 ที่ห้องทดลองแห่งชาติของสหรัฐอเมริกาที่เมืองลอสอลามอส โปรแกรมดังกล่าวได้รับการพัฒนามากาญจน์แล้วและรุ่นที่ใช้ในการจำลองครั้งนี้คือรุ่น MCNP-4C (Radiation Shielding Information Center, 1993) โดยใช้ข้อมูลของ cross section สำหรับอนตระกิยระหว่างนิวตรอนและรังสีแกมมากับสารจาก “The Evaluated Nuclear data File B-VI” เมื่อจากโปรแกรม MCNP เป็นที่รู้จักและใช้กันอย่างแพร่หลาย ผู้เขียนจึงไม่ได้อธิบายถึง

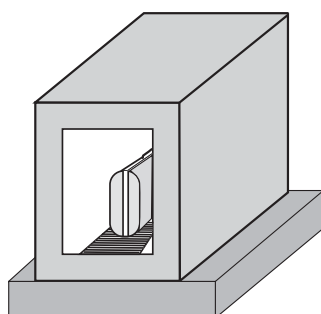
วิธีการใช้โปรแกรมในครั้งนี้ อย่างไรก็ตามผู้อ่านที่ไม่คุ้นเคยอาจศึกษาถึงวิธีการใช้โปรแกรมได้จากเอกสารอ้างอิงข้างต้น

ระบบตรวจจตุร billigเบิดดันแบบสำหรับการจำลอง

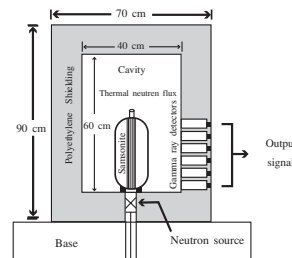
ระบบตรวจจตุร billigเบิดที่ใช้เป็นดันแบบของการจำลองในครั้งนี้ คือระบบตรวจกระเป่าเดินทางที่ใช้เทคนิค TNA ซึ่งมีลักษณะคล้ายกับระบบตรวจกระเป่าเดินทางที่ใช้ในการทดลองของ Bartko and Ruddy (1996) ระบบดันแบบดังกล่าวมีลักษณะและขนาดดังรูปที่ 1 โดยรูปที่ 1(a) แสดงภาพสามมิติของระบบฯ ส่วนรูปที่ 1(b) 1(c) และ 1(d) แสดงรูปของภาคตัดขวางของระบบฯ เมื่อมองทางด้านหน้าด้านบน และด้านข้างตามลำดับ

หลักการทำงานของระบบจะเริ่มต้นที่กระเป่าเดินทางเคลื่อนผ่านระบบไปบนสายพาน ในระหว่าง

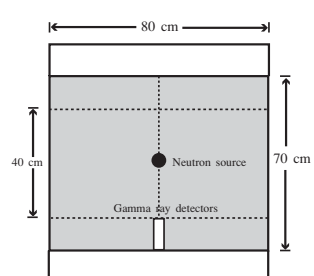
ที่กระเป่าเคลื่อนผ่านอุโมงค์ของการตรวจนั้น วัสดุที่อยู่ภายในกระเป่าจะถูกอบรมด้วยอนุภาคนิวตรอนจากแหล่งกำเนิดนิวตรอนที่อยู่ด้านล่างของอุโมงค์ได้สายพาน อนุภาคนิวตรอนที่ปลดปล่อยออกมากจากแหล่งกำเนิดนิวตรอนนั้นจะเป็นนิวตรอนพลังงานสูง แต่จะลดพลังงานลงเมื่อชนกับวัสดุลดตอนพลังงานจนกลายเป็นนิวตรอนอุณหภพซึ่งมีโอกาสสะท้อนกลับเข้ามาสู่บริเวณของอุโมงค์ดังนั้นภายในอุโมงค์จะเต็มไปด้วยนิวตรอนอุณหภพถ้าหากว่าอุโมงค์ประกอบของวัสดุภายในกระเป่าเดินทางดูดกลืนอนุภาคนิวตรอนอุณหภพจะทำให้เกิดรังสีแกมมาที่มีพลังงานเฉพาะขึ้นมา รังสีแกมมาที่เกิดขึ้นนี้จะถูกตรวจจับโดยหัววัดรังสีแกมมาซึ่งฝังอยู่กับผนังด้านข้างของอุโมงค์ที่กระเป่าเคลื่อนผ่านข้อมูลของจำนวนและพลังงานของรังสีแกมมาที่เกิดขึ้นนี้จะถูกนำไปใช้ในการวินิจฉัยนิคของวัสดุที่นำมาตรวจสอบ ถ้ารังสีแกมมาที่ตรวจพบเป็นรังสีที่เกิดจากไนโตรเจนซึ่งมีพลังงาน 10.83 MeV



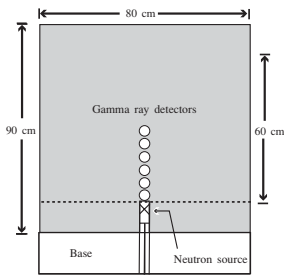
(a) Three dimensional view



(b) Front view



(c) Top view



(d) Side view

Figure 1. TNA luggage inspection system used in the simulation

แสดงว่าสัดส่วนของรัฐในกระบวนการเป้าอาจเป็นวัตถุระเบิดแต่เนื่องจากสิ่งของอื่น ๆ (เช่น ผ้าไหม ผ้าขนสัตว์ และผ้าใบล่อน) ก็มีในโตรเจนเป็นองค์ประกอบ เช่นกัน ดังนั้นการตรวจสอบรังสีแกรมมาดังกล่าวไม่ใช่หลักประกันว่าสิ่งที่บรรจุในกระบวนการเป้านี้เป็นวัตถุระเบิด ดังนั้นจึงต้องใช้ข้อมูลของความหนาแน่นของวัสดุที่นำมาตรวจสอบเพื่อช่วยในการวินิจฉัย แต่วัตถุระเบิดจะมีค่าความหนาแน่นของไนโตรเจนสูงกว่าค่าในสิ่งของอื่น ๆ ที่มักจะปรากฏในกระบวนการเป้าเดินทาง ดังนั้นถ้าตรวจสอบว่ามีรังสีแกรมมาพลังงาน 10.83 MeV เป็นจำนวนมากย่อมแสดงว่าในกระบวนการเป้าเดินทางมีสิ่งที่ประกอบด้วยไนโตรเจนเป็นจำนวนมากบริสุทธิ์ซึ่งมีแนวโน้มที่จะเป็นวัตถุระเบิด

องค์ประกอบของระบบตรวจวัตถุระเบิดต้นแบบสำหรับการจำลองมีดังต่อไปนี้

แหล่งกำเนิดนิวตรอน

ในการทดลองของ Bartko and Ruddy (1996) นั้นมี ^{252}Cf เป็นแหล่งกำเนิดนิวตรอน ทำหน้าที่ปลดปล่อยนิวตรอนพลังงานสูงที่มีพลังงานเฉลี่ยประมาณ 2.35 MeV นิวตรอนเหล่านี้จะถูกลดพลังงานลงเป็นลำดับจนกระทั่งถึงเป็นนิวตรอนอุณหภูมิเมื่อชนกับวัสดุลด photon พลังงานและวัสดุกำบังรังสีโดยปกติแล้วกระบวนการของการลดพลังงานของนิวตรอนพลังงานสูงเป็นนิวตรอนอุณหภูมนี้ จะใช้เวลาในการคำนวณของระบบประมวลผลกลาง ของคอมพิวเตอร์ ค่อนข้างนาน ดังนั้นเพื่อเป็นการลดเวลาในการคำนวณของระบบประมวลผลกลางของคอมพิวเตอร์ในการจำลองครั้งนี้ เราได้สมมติให้อุณหภูมนิวตรอนพลังงานเฉลี่ย 2.35 MeV ที่ปลดปล่อยจากแหล่งกำเนิดนิวตรอน ^{252}Cf ได้ถูกลด photon พลังงานลงจนถึงเป็นนิวตรอนอุณหภูมิที่มีพลังงาน 0.025 eV

แล้วเมื่อเข้าสู่อุโมงค์และทำการอ่านตราชีวิยา กับนิวเคลียสของวัสดุที่นำมาตรวจสอบ แหล่งกำเนิดนิวตรอนดังกล่าวมีลักษณะเป็นแผ่นวงกลมแบน เส้นผ่าศูนย์กลาง 1.3 เซนติเมตร วางอยู่ด้านล่างของอุโมงค์ได้สายพานที่ใช้สำหรับการเป้า และถูกดึงรอบด้วยวัสดุกำบังรังสี แต่มีช่องเปิดด้านบนเพื่อให้นิวตรอนเคลื่อนที่ผ่านเข้ามายังห้อง กับกระบวนการเป้า ทิศทางของนิวตรอนที่เคลื่อนที่ออกมามากจากแหล่งกำเนิดนิวตรอนนั้นไม่จำกัดว่าต้องผ่านตรงออกมายังแนวแกนดิ่ง (แกน z) เท่านั้น แต่สามารถผ่านไปได้ทุกทิศทาง (ยกเว้นด้านล่าง) หรือสามารถมีการกระจายเชิงมุม (angular distribution) ตั้งแต่ $+90^\circ$ ถึง -90° ในลักษณะที่จะเป็นหลักประกันได้ว่าทุก ๆ ส่วนของกระบวนการเป้าเดินทางจะมีโอกาสที่จะถูกออบด้วยนิวตรอน

หัววัดรังสีแกรมมา

ในการจำลองครั้งนี้เราใช้หัววัดรังสีแกรมมาจำนวน 6 หัววัดวางซ้อนกันในแนวตั้งโดยฝั่งอยู่ในหนังด้านข้างของอุโมงค์เพื่อทำการวัดรังสีแกรมมาที่เกิดขึ้นจากอันตรักษิริยา นิวเคลียร์ระหว่างนิวตรอนกับนิวเคลียสของวัสดุที่นำมาตรวจสอบ หัววัดที่ 1 อยู่ด้านล่างสุดของอุโมงค์และหัววัดที่ 2 - 6 จะเรียงช้อนกันขึ้นไปตามลำดับในแนวตั้ง เนื่องจากเส้นผ่าศูนย์กลางของหัววัดเหล่านี้คือ 5 เซนติเมตร และระยะเป้าที่ใช้ในการจำลองสูง 35 เซนติเมตร ดังนั้นหัววัดที่ 6 จะอยู่ในแนวเดียวกับขอบของกระบวนการเป้า ด้านบนพอดี ในการจำลองการทำงานของระบบนั้นเราต้องทำการตรวจสอบทุก ๆ ส่วนของกระบวนการเป้าซึ่งสามารถกระทำได้โดยการเคลื่อนย้ายหัววัดซึ่งยึดติดกันและยึดต่ำอยู่กับที่ เนื่องจากความยาวของระบบเป้าคือ 45 เซนติเมตรและเส้นผ่าศูนย์กลางของหัววัดคือ 5 เซนติเมตร ดังนั้นเมื่อต้องการตรวจให้ครอบคลุมตลอดความยาวของกระบวนการเป้าพอตัวจะต้องทำการเลื่อนระบบเป้าไป 9 ครั้ง ๆ ละ 5 เซนติเมตร รูปที่ 2 แสดงตำแหน่งของระบบหัววัดรังสีแกรมมา 9 ตำแหน่ง เมื่อเลื่อนระบบเป้าไป 9 ครั้ง ซึ่งครอบคลุมหน้าตัดของ

กระเป้าได้พอดี

วัสดุลดทอนพลังงานนิวตรอนและวัสดุกำบังรังสี

ในการจำลองครั้งนี้เราใช้โพลิเอทิลีนเป็นห้องวัสดุลดทอนพลังงานและวัสดุกำบังรังสี แต่เนื่องจากเราสมมติให้นิวตรอนที่ผ่านเข้าสู่อุโมงค์ของการตรวจนั้นได้กลایเป็นนิวตรอนอุณหภูมิเท่านั้น ดังนั้นโพลิเอทิลีนซึ่งล้อมรอบอุโมงค์ของระบบอยู่นั้นจึงทำหน้าที่เป็นเพียงวัสดุกำบังรังสี ป้องกันการรั่วไหลของนิวตรอนอุณหภูมิจากอุโมงค์และสะท้อนนิวตรอนดังกล่าวกลับสู่อุโมงค์ ในรูปที่ 1(a) จะเห็นว่าวัสดุกำบังรังสีมีลักษณะเป็นกล่องสี่เหลี่ยมมีความหนา 15 เซนติเมตรในแต่ละด้าน โดยอุโมงค์ซึ่งอยู่ตรงกลางมีความกว้าง 40 เซนติเมตร และสูง 60 เซนติเมตร ในบริเวณภายในอุโมงค์นี้จะเต็มไปด้วยนิวตรอนอุณหภูมิในขณะที่ระบบทำงาน ในการจำลองครั้งนี้เนื่องจากเป็นการศึกษาถึงความเป็นไปได้เบื้องต้นของการใช้เทคนิค TNA ว่าจะสามารถตรวจพบรังสีแคมมา พลังงาน 10.83 MeV หรือไม่ เราจึงไม่ได้คำนึงถึงการป้องกันการรั่วไหลของรังสีแคมมาจากการดังนั้นจึงไม่มีการใช้ตะกั่วเพื่อเป็นวัสดุกำบังรังสี แกนมาของระบบ

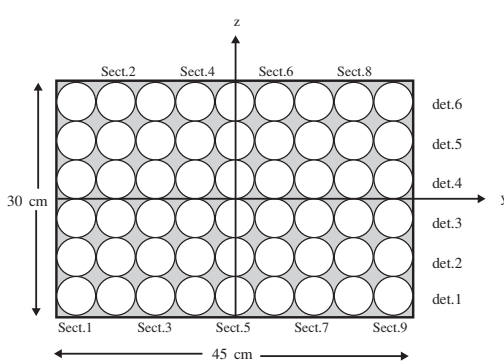


Figure 2. Positions of six arrayed-gamma ray detectors at 9 different sections of the inspected luggage

การบรรจุสารตัวอย่างในกระเป้าเดินทาง

สารตัวอย่างที่บรรจุในกระเป้าเดินทางมีทั้งสารที่มีองค์ประกอบเหมือนของไข่ประจำวันและวัตถุระเบิดในกรณีของสารที่มีองค์ประกอบเหมือนของไข่ประจำวันนั้นมี 3 ชนิด คือ ผ้าไหม ($C_3H_{11}O_6N_3$) ผ้าขนสัตว์ ($C_{40}H_{6.69}N_{1.11}O_{1.65}S_{0.104}$) และผ้าไวนอลอน ($C_{11}H_{26}O_4N_2$) ส่วนวัตถุระเบิดคือ C-4 ($C_4H_6O_6N_6$) ซึ่งมี 2 ขนาด คือ ขนาดใหญ่ ($10 \times 15 \times 15$ ลูกบาศก์เซนติเมตร หนัก 4,117.5 กรัม) และขนาดเล็ก ($3 \times 5 \times 8$ ลูกบาศก์เซนติเมตร หนัก 219.6 กรัม) วัตถุระเบิดเหล่านี้มีความหนาแน่น 1.83 กรัม ต่อลูกบาศก์เซนติเมตร ลักษณะของการบรรจุสารตัวอย่างเหล่านี้มีทั้งการบรรจุสารตัวอย่างเพียงชนิดเดียว และหลายชนิดร่วมกัน โดยมี 5 ลักษณะ คือ

1. บรรจุผ้าไหม ผ้าขนสัตว์ และผ้าไวนอลอน ในกระเป้าเดินทาง ดังแสดงในรูปที่ 3(a)
2. บรรจุวัตถุระเบิดขนาดใหญ่ที่คำแห่งน่อง ล่างช้าย และผ้าไหมในส่วนที่เหลือของกระเป้า
3. บรรจุเฉพาะวัตถุระเบิดขนาดเล็กที่คำแห่งน่อง ขอนลงช้ายของกระเป้า
4. บรรจุเฉพาะวัตถุระเบิดขนาดเล็กที่คำแห่งน่อง กึ่งกลางของกระเป้า
5. บรรจุเฉพาะวัตถุระเบิดขนาดเล็กที่คำแห่งน่อง ขอบขวาบนของกระเป้า

รูปที่ 3(b) แสดงตำแหน่งของการบรรจุวัตถุระเบิดในกระเป้าเดินทาง โดยหมายเลข (1) คือ ตำแหน่งของล่างช้ายของกระเป้า หมายเลข (2) คือ ตำแหน่งกึ่งกลางของกระเป้า และหมายเลข (3) คือ ตำแหน่งขอบขวาบนของกระเป้า

ข้อมูลผลลัพธ์จากการจำลองด้วยโปรแกรม MCNP

เนื่องจากในการจำลองครั้งนี้มีสารตัวอย่างหลายชนิด บางชนิดก็มีหลายขนาดและตำแหน่งของการบรรจุของแต่ละขนาดแตกต่างกัน ดังนั้นจึงมีข้อมูล

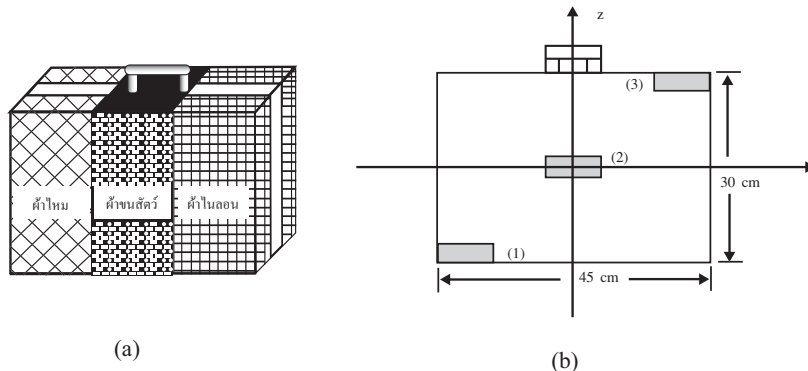


Figure 3. Positions of samples in the inspected luggage
(a) positions of silk, wool and nylon
(b) Positions of explosive (1: bottom left 2: middle 3: top right)

ผลลัพธ์เป็นจำนวนมากซึ่งไม่สามารถแสดงให้คุณได้ทั้งหมดแต่ได้เลือกแสดงเพียงกรณีเดียวเท่านั้น คือกรณีที่บรรจุผ้าไหม ผ้าขนสัตว์ และผ้าในلون ในกระเป๋าเดินทาง ตารางที่ 1 เป็นข้อมูลผลลัพธ์จากการจำลองในกรณีดังกล่าว โดยข้อมูลในตารางนี้คือค่าฟลักซ์ของรังสีแกมมา พลังงาน 10.83 MeV ที่วัดได้ตลอดทั้งปริมาตรของหัววัด (volume flux) ข้อมูลผลลัพธ์ในบรรทัดที่ 1 คือค่าฟลักซ์ของรังสีแกมมาดังกล่าวที่วัดได้โดยหัววัด (Detector) หมายเลข 6 เมื่อวางอยู่ในตำแหน่งของตอน (Section) ที่ 1 - 9 ส่วนข้อมูลผลลัพธ์ในบรรทัดที่ 2 - 6 คือค่าฟลักซ์ของรังสีแกมมาที่วัดได้โดยหัววัดหมายเลข 5 - 1 เมื่อวางอยู่ในตำแหน่งของตอนที่ 1 - 9 ค่าฟลักซ์ในแต่ละหัววัดเหล่านี้คือค่าฟลักซ์ของรังสีแกมมาที่เกิดขึ้นจากการจำลองด้วยนิวตรอน อุณหภูมิ 1 องศาคelsius โดยที่จำนวนอนุภาคนิวตรอนทั้งหมดที่ใช้ในการจำลองในแต่ละกรณีอยู่ระหว่าง 12-15 ชั่วโมง ตัวคอมพิวเตอร์บุคคลที่มีหน่วยประมวลผลกลาง (central processing unit) เป็น Pentium III ซึ่งมีความเร็ว 866 เมกะ赫ริตซ์ และ มีหน่วยความจำ (RAM) ขนาด 512 เมกะไบต์ ค่าความคลาดเคลื่อนของผลลัพธ์จากการจำลองในทุกกรณีต่ำกว่า 5 เปอร์เซ็นต์ ซึ่งถือว่าอยู่ในเกณฑ์ที่เชื่อถือได้

การวิเคราะห์และการอภิปรายผลการจำลอง

กรณีที่บรรจุผ้าไหม ผ้าขนสัตว์ และผ้าในلونไว้ในกระเป๋าเดินทาง

จากตารางที่ 1 เมื่อทำการเปรียบเทียบค่าฟลักซ์หรือจำนวนของรังสีแกมมาที่วัดได้โดยหัววัดแต่ละหัววัดกับค่าในหัววัดที่มีค่าต่ำสุด (หารด้วยค่าต่ำสุด) จะได้ค่าฟลักซ์ของรังสีแกมมาเปรียบเทียบของแต่ละหัววัดดังแสดงในตารางที่ 2 และถ้าทำการเปรียบเทียบระหว่างค่าฟลักซ์ของรังสีแกมมาในหัววัดที่ 4 กับหัววัดที่ 1 จะเห็นได้ว่าค่าฟลักซ์ของรังสีแกมมาที่วัดได้เมื่อหัววัดเหล่านี้น้อยลงในต่อหนึ่ง ๆ จะได้ดังรูปที่ 4 จะเห็นได้ว่าสำหรับหัววัดเดียวกัน (เช่น หัววัดที่ 1) ค่าฟลักซ์ของรังสีแกมมาที่วัดได้เมื่อหัววัดเหล่านี้น้อยลงในต่อหนึ่งของตอนต่างๆ ไม่แตกต่างกันอย่างมีนัยสำคัญ ยกเว้นค่าในตำแหน่งของตอนที่ 1 และ 9 ซึ่งอยู่ที่ขอบของกระเบื้อง ค่าฟลักซ์ของรังสีแกมมาในตำแหน่งทั้งสองนี้จะต่ำกว่าค่าในตำแหน่งของตอนที่อยู่บริเวณกลางกระเบื้องประมาณ 20 เปอร์เซ็นต์ แต่ถ้าพิจารณาค่าฟลักซ์ของรังสีแกมมาเปรียบเทียบในหัววัดที่ 1 - 6 ซึ่งอยู่ในตำแหน่งของตอนเดียวกันจะเห็นว่ามีค่าแตกต่างกันโดยจะมีค่าลดลงอย่างสม่ำเสมอจากหัววัดที่ 1

Table 1. Gamma ray fluxes (per 1 neutron) resulted from the simulation when silk, wool and nylon were put in the luggage

Detector	Section								
	No. 1	No. 2	No. 3	No. 4	No. 5	No. 6	No. 7	No. 8	No. 9
6	1.12E-08	1.52E-08	1.88E-08	1.78E-08	1.74E-08	1.75E-08	9.10E-09	8.25E-09	6.63E-09
5	1.52E-08	2.13E-08	2.15E-08	2.23E-08	2.29E-08	2.34E-08	1.28E-08	1.23E-08	8.81E-09
4	2.21E-08	2.73E-08	2.50E-08	2.84E-08	2.64E-08	3.12E-08	1.81E-08	1.52E-08	1.02E-08
3	2.84E-08	3.25E-08	3.27E-08	3.10E-08	3.10E-08	3.06E-08	2.04E-08	1.61E-08	1.04E-08
2	2.77E-08	3.48E-08	3.50E-08	3.86E-08	3.77E-08	3.72E-08	2.29E-08	1.92E-08	1.56E-08
1	3.07E-08	3.59E-08	3.69E-08	3.99E-08	3.82E-08	3.63E-08	1.97E-08	1.80E-08	1.35E-08

Table 2. Relative gamma ray fluxes resulted from the simulation when silk, wool and nylon were put in the luggage

Detector	Section								
	No. 1	No. 2	No. 3	No. 4	No. 5	No. 6	No. 7	No. 8	No. 9
6	37	53	57	57	55	56	57	52	42
5	50	67	67	71	67	65	68	66	56
4	62	78	83	88	86	83	83	85	72
3	69	86	88	91	94	94	92	88	75
2	83	98	114	116	112	110	107	104	87
1	90	110	111	118	117	118	113	114	87

Table 3. Relative gamma ray fluxes resulted from the simulation when large explosive was put in the bottom left of the luggage and silk at the remaining of the luggage

Detector	Section								
	No. 1	No. 2	No. 3	No. 4	No. 5	No. 6	No. 7	No. 8	No. 9
6	84	107	99	69	49	47	45	43	42
5	131	159	138	84	65	62	61	60	56
4	179	208	184	111	93	89	86	83	72
3	202	231	221	139	101	98	96	95	75
2	225	271	252	160	116	111	105	99	87
1	235	268	246	160	124	115	111	111	87

การที่ค่าฟลักซ์ของรังสีแกรมมาเปรียบเทียบมีลักษณะเป็นเช่นนี้ เพราะความหนาแน่นของไนโตรเจนในผ้าไหม ผ้าขนสัตว์ และผ้าในล่อน มีค่าใกล้เคียงกัน ทำให้จำนวนนิวเคลียสของชาตุไนโตรเจนที่มีโอกาสเกิดอันตรกิริยานิวเคลียร์กับนิวตรอนอุณหภพมีจำนวนนิวเคลียสที่มากกว่า จึงเกิดรังสีแกรมมาในจำนวนที่ใกล้เคียงกันและทำให้ค่าฟลักซ์ของรังสีแกรมมาที่วัดได้ในหัววัดต่าง ๆ มีค่าใกล้เคียงกัน การที่ค่าฟลักซ์ของรังสีแกรมมาเปรียบเทียบในหัววัดต่าง ๆ ของตอนที่ 1 และ 9 น้อยกว่าค่าในตอนอื่น ๆ นั้น เป็นเพราะตำแหน่งของตอนทึ้งสองอยู่ที่ขอบของกระเบื้อง ซึ่งทำให้หัววัดมองเห็นรังสีแกรมมาที่มาจากด้านข้างของหัววัดเพียงข้างเดียว ส่วนค่าฟลักซ์ที่ลดลงอย่างสม่ำเสมอจากหัววัดที่ 1 - 6 นั้น เป็นเพราะจำนวนนิวตรอนอุณหภพมีค่าสูงสุดในบริเวณที่อยู่ใกล้

กับตำแหน่งของแหล่งกำเนิดนิวตรอน (ด้านล่างของอุ่มคง) และลดลงอย่างสม่ำเสมอเมื่ออยู่ห่างจากตำแหน่งของแหล่งกำเนิดนิวตรอนมากขึ้น การกระจายของค่าฟลักซ์ของรังสีแกมมาในลักษณะนี้ชี้ให้เห็นว่าวัตถุที่อยู่ในกระเป๋าเดินทางนั้นไม่ใช่วัตถุระเบิด

กรณีที่บรรจุวัตถุระเบิดขนาดใหญ่และผ้าไหมในกระเป๋าเดินทาง

กรณีนี้เป็นกรณีของการบรรจุวัตถุระเบิดขนาดใหญ่ไว้ที่ขอบซ้ายล่างและบรรจุผ้าไหมในส่วนที่เหลือของการเป้าเดินทาง ตารางที่ 3 และรูปที่ 5 แสดงค่าฟลักซ์ของรังสีแกมมาเปรียบเทียบสำหรับกรณีนี้ซึ่งจะสังเกตเห็นว่าค่าฟลักซ์ของรังสีแกมมาที่วัดได้โดยหัววัดที่ 1 - 3 เมื่ออยู่ในตำแหน่งของตอนที่ 1 - 3 มีค่าสูงกว่าฟลักซ์ในหัววัดเดียวที่กันเมื่ออยู่ในตอนอื่น ๆ อย่างเห็นได้ชัด ทั้งนี้เพราะเหตุว่าวัตถุระเบิดวางอยู่ในตำแหน่งของหัววัดที่ 1 - 3 (วัตถุระเบิดมีความยาวเท่ากับระยะระหว่างหัววัดจากตอนที่ 1 - 3) ดังนั้นในตำแหน่งของตอนที่ 1 - 3 ซึ่งมีความหนาแน่นของไนโตรเจนสูงกว่าตำแหน่งอื่น ๆ จึงทำให้เกิดรังสีแกมมากกว่าตำแหน่งอื่น ๆ แต่ถ้าพิจารณาค่าฟลักซ์ของรังสีแกมมาในหัววัดที่ 4 - 6 เมื่ออยู่ในตำแหน่งของตอนที่ 1 - 3 จะพบว่ามีค่าน้อยกว่าค่าฟลักซ์

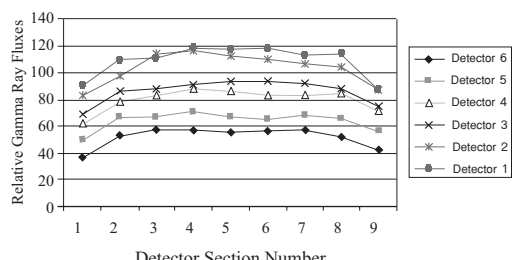


Figure 4. Relative gamma ray fluxes resulted from the simulation when silk, wool and nylon were put in the luggage

ของรังสีแกมมาในหัววัดที่ 1 - 3 เมื่ออยู่ในตำแหน่งของตอนเดียวที่ กัน ทั้งนี้ เพราะหัววัดที่ 4 - 6 อยู่ห่างจากตำแหน่งของวัตถุระเบิดมากกว่าหัววัดที่ 1 - 3 ส่วนเมื่อทำการพิจารณาค่าการกระจายของฟลักซ์ในแนวตั้งจะพบว่าค่าฟลักซ์ของรังสีแกมมาในหัววัดที่ 1 ของแต่ละตอนจะมีค่าสูงสุดและลดลงอย่างสม่ำเสมอในหัววัดที่ 2 - 6 ทั้งนี้ เพราะจำนวนนิวตรอนอุณหภูมิค่าสูงสุดในด้านล่างของอุ่มคงและลดลงอย่างสม่ำเสมอเมื่ออยู่ห่างจากด้านล่างของอุ่มคงมากขึ้น ลักษณะของค่าฟลักซ์เปรียบเทียบเช่นนี้ ชี้ให้เห็นว่าระบบสามารถวินิจฉัยได้ว่าวัตถุที่น่าจะเป็นวัตถุระเบิดอยู่จริง และสามารถออกตำแหน่งของวัตถุนั้นได้ ถึงแม้จะบรรจุสิ่งของอื่น ๆ ไว้ร่วมกับวัตถุระเบิดในกระเป๋าเดินทาง

กรณีที่บรรจุเฉพาะวัตถุระเบิดในกระเป๋าเดินทาง

ในกรณีที่บรรจุเฉพาะวัตถุระเบิดไว้ในกระเป๋าเดินทางนั้นเราได้ทำการบรรจุวัตถุระเบิดขนาดเล็กไว้ในตำแหน่งต่าง ๆ ของกระเป๋าเดินทาง 3 ตำแหน่ง คือ 1) ตำแหน่งขอบซ้ายกระเป๋า 2) ตำแหน่งกึ่งกลางกระเป๋า และ 3) ตำแหน่งขอบขวาของกระเป๋า

ตารางที่ 4 และรูปที่ 6 แสดงค่าฟลักซ์ของรังสีแกมมาเปรียบเทียบที่วัดได้โดยหัววัดรังสีที่ 1 - 6 ในกรณีที่บรรจุวัตถุระเบิดอยู่ในตำแหน่งของหัววัดซ้ายของกระเป๋าเดินทาง จะเห็นได้ว่าค่าฟลักซ์ของ

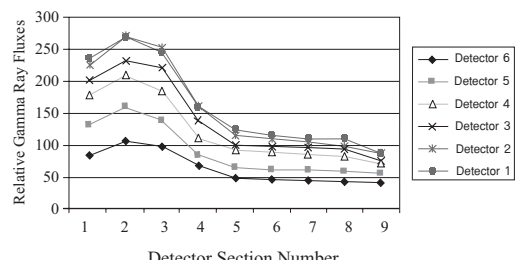


Figure 5. Relative gamma ray fluxes resulted from the simulation when large explosive was put in the bottom left of the luggage and silk at the remaining of the luggage

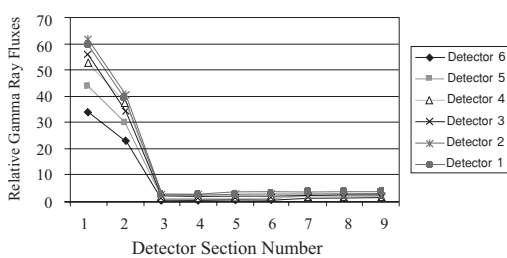


Figure 6. Relative gamma ray fluxes resulted from the simulation when small explosive was put at the bottom left of the luggage.

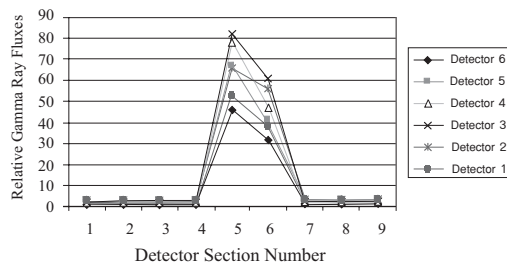


Figure 7. Relative gamma ray fluxes resulted from the simulation when small explosive was put in the middle of the luggage.

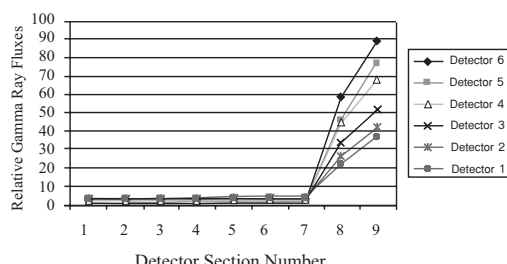


Figure 8. Relative gamma ray fluxes resulted from the simulation when small explosive was put at the top right of the luggage

รังสีแกมมาเปรียบเทียบในทุกหัววัดจะมีค่าสูงสุด เมื่อหัวดอยู่ในตำแหน่งของตอนที่ 1 และ 2 ทั้งนี้ เพราะว่าตำแหน่งของหัวดและแหล่งกำเนิดนิวตรอนอยู่ใกล้กับตำแหน่งของวัตถุระเบิดมากที่สุด นอกจากนี้ยังพบว่าเมื่อหัวดอยู่ในตำแหน่งของตอนที่ 5 สองนี้ค่าฟลักซ์ของรังสีแกมมาเปรียบเทียบในหัววัดที่ 1 และ 2 จะมีค่าสูงกว่าค่าในหัววัดที่ 3 - 6

อย่างเห็นได้ชัด ทั้งนี้ เพราะว่าตำแหน่งของหัววัดที่ 3 - 6 อยู่ห่างจากตำแหน่งของแหล่งกำเนิดนิวตรอนมากกว่าหัววัดที่ 1 และ 2 จึงมีนิวตรอนอุณหภูมิที่จะทำให้เกิดรังสีแกมมาก่อนอยกว่า ส่วนค่าฟลักซ์ของรังสีแกมมาเปรียบเทียบของหัววัดต่างๆ เมื่ออยู่ในตำแหน่งของตอนที่ 3 - 9 นั้นจะมีค่าใกล้เคียงกันและน้อยมากเมื่อเทียบกับค่าในหัววัดเดียวกันเมื่ออยู่ในตำแหน่งของตอนที่ 1 และ 2 ทั้งนี้ เพราะว่าตำแหน่งของหัวดทุกหัววัดเมื่ออยู่ในตำแหน่งของตอนที่ 3 - 9 นั้นอยู่ไกลจากตำแหน่งของวัตถุระเบิดมากกว่า เป็นที่น่าสังเกตว่าค่าฟลักซ์ของรังสีแกมมา ในหัววัดต่าง ๆ เมื่ออยู่ในตำแหน่งของตอนที่ 2 จะต่ำกว่าค่าในหัววัดเดียวกันเมื่ออยู่ในตำแหน่งของตอนที่ 1 ทั้งนี้เป็น เพราะว่าหัววัตถุระเบิดขนาดเล็กซึ่งมีความยาว 8 เซนติเมตร หรือยาวเท่ากับประมาณ 1.5 เท่าของเส้นผ่าศูนย์กลางของหัววัดจะลดลงตามตำแหน่งของตอนที่ 1 และถ้าสูดที่ตำแหน่งกึ่งกลางของตอนที่ 2 ดังนั้นปริมาณของวัตถุระเบิดจะสูงกว่าในตำแหน่งของตอนที่ 1 เมื่อเทียบกับค่าในตำแหน่งของตอนที่ 2 ค่าฟลักซ์ของรังสีแกมมาที่วัดได้โดยหัววัดต่าง ๆ เมื่ออยู่ในตำแหน่งของตอนที่ 2 จึงน้อยกว่าค่าในตำแหน่งของตอนที่ 1

ในกรณีที่บรรจุวัตถุระเบิดขนาดเล็กไว้ที่ตำแหน่งกึ่งกลางและขอบขวาของกระเบื้องในหัววัดต่าง ๆ จะมีลักษณะคล้ายกับกรณีที่บรรจุวัตถุระเบิดไว้ที่ตำแหน่งขอบล่างซ้ายของกระเบื้องตารางที่ 5 และรูปที่ 7 แสดงค่าฟลักซ์ของรังสีแกมมาเปรียบเทียบในกรณีที่บรรจุวัตถุระเบิดไว้ที่ตำแหน่งขอบขวาของกระเบื้องในตารางที่ 5 และรูปที่ 7 จะพบว่าค่าฟลักซ์ของรังสีแกมมาเปรียบเทียบจะมีค่าสูงสุดในหัววัดที่ 3 และ 4 เมื่ออยู่ในตำแหน่งของตอนที่ 5 และ 6 ส่วนในตารางที่ 6 และรูปที่ 8 นั้นจะพบว่าค่าฟลักซ์ของรังสีแกมมาเปรียบเทียบมีค่าสูงสุด

Table 4. Relative gamma ray fluxes resulted from the simulation when small explosive was put at the bottom left of the luggage

Detector	Section								
	No. 1	No. 2	No. 3	No. 4	No. 5	No. 6	No. 7	No. 8	No. 9
6	34	23	1	1	1	1	2	2	2
5	44	30	2	2	2	2	2	2	2
4	53	38	2	2	2	2	2	2	2
3	56	35	2	2	2	2	2	2	2
2	62	41	3	3	3	3	3	3	3
1	60	39	3	3	4	4	4	4	4

Table 5. Relative gamma ray fluxes resulted from the simulation when small explosive was put at the middle of the luggage

Detector	Section								
	No. 1	No. 2	No. 3	No. 4	No. 5	No. 6	No. 7	No. 8	No. 9
6	2	1	1	1	46	32	2	2	2
5	2	2	2	2	67	39	2	2	2
4	2	2	2	2	78	47	2	2	2
3	2	2	2	2	82	61	2	2	2
2	3	3	3	3	66	56	3	3	3
1	3	3	3	3	53	38	4	4	4

Table 6. Relative gamma ray fluxes resulted from the simulation when small explosive was put at the top of the luggage

Detector	Section								
	No. 1	No. 2	No. 3	No. 4	No. 5	No. 6	No. 7	No. 8	No. 9
6	2	1	1	2	2	1	2	59	89
5	2	2	2	2	2	2	2	46	77
4	2	2	2	2	2	2	2	45	68
3	2	2	2	2	2	2	2	34	52
2	3	3	3	3	3	3	3	26	42
1	3	3	3	3	4	4	4	22	37

ในหัววัดที่ 5 และ 6 เมื่ออยู่ในตำแหน่งของตอนที่ 8 และ 9

ลักษณะการกระจายของฟลักซ์ของรังสีแกมมา ดังปรากฏในตารางที่ 4 - 6 และรูปที่ 4 - 8 นี้แสดงให้เห็นว่าระบบสามารถตรวจหาวัสดุที่อาจเป็นวัตถุระเบิดและตำแหน่งของวัสดุนั้นอย่างเห็นได้ชัด

จากลักษณะของค่าฟลักซ์ของรังสีแกมมาเปรียบเทียบตามตารางที่ 2 - 6 และรูปที่ 4 - 8 นั้น เราสามารถสรุปได้ว่าระบบตรวจวัตถุระเบิดที่ใช้เทคนิค TNA สามารถตรวจหาวัสดุที่อาจเป็นวัตถุระเบิด

และบอกตำแหน่งของวัสดุนั้นในกระเบื้องเดินทางได้จะเห็นได้ว่าเมื่อบรรจุเฉพาะผ้าใบใหม่ที่ขันสักหรือผ้าใบล่อนโดยไม่มีวัตถุรุนแรงในกระเบื้องเดินทางค่าฟลักซ์ของรังสีแกมมาเปรียบเทียบของแต่ละหัววัดเมื่อยื่นคำแนะนำของตอนต่าง ๆ จะไม่แตกต่างกันอย่างมีนัยสำคัญ ทั้งนี้ เพราะความหนาแน่นของไนโตรเจนของวัสดุดังกล่าวมีค่าใกล้เคียงกันอย่างไรก็ตามระบบตรวจจตุรulence ได้แสดงให้เห็นว่าค่าฟลักซ์ของรังสีแกมมาในหัววัดที่ 1 - 6 ของแต่ละตอนจะลดลงอย่างสม่ำเสมอ ซึ่งเป็นการสะท้อนว่าจำนวนนิวตรอนอุณหภูมิในคำแนะนำต่าง ๆ ของกระเบื้องเดินทางในแนวเดิมมีค่าลดลงอย่างสม่ำเสมอจากด้านล่าง ในกรณีที่บรรจุรุนแรงเบิดร่วมกับผ้าใบในกระเบื้องเดินทางลักษณะของค่าฟลักซ์ของรังสีแกมมาเปรียบเทียบจะมีค่าสูงสุดเมื่อหัววัดอยู่ใกล้กับคำแนะนำของหัววัดรุนแรงเบิด ส่วนที่คำแนะนำอื่น ๆ จะมีค่าน้อยกว่าอย่างเห็นได้ชัด ส่วนกรณีที่บรรจุรุนแรงพลาสติกไว้ในกระเบื้องเดินทางลักษณะของค่าฟลักซ์ของรังสีแกมมาเปรียบเทียบซึ่งแสดงให้เห็นอย่างชัดเจนว่าเมื่อหัววัดอยู่ใกล้กับคำแนะนำของหัววัดรุนแรงเบิดค่าฟลักซ์ของรังสีแกมมาเปรียบเทียบจะแตกต่างจากคำแนะนำอื่น ๆ อย่างมาก

อย่างไรก็ตามในการจำลองครั้งนี้เราใช้สมนติฐานที่แตกต่างจากการทดลองของ Bartko and Ruddy 2 ข้อคือ

- 1) เราสมนติให้อุปกรณ์นิวตรอนพลังงานเฉลี่ย 2.35 MeV ที่ปลดปล่อยจากแหล่งกำเนิดนิวตรอน ^{252}Cf ได้ถูกลดลง พลังงานลงจนกลายเป็นนิวตรอนอุณหภูมิที่มีพลังงาน 0.025 eV และเมื่อเข้าสู่อุโมงค์และทำอันตรายร้ายกับนิวเคลียสของวัสดุที่นำมาตรวจสอบ ขณะที่ในการทดลองของ Bartko and Ruddy นั้นใช้สภาพตั้งของนิวตรอนที่มีพลังงานเฉลี่ย 2.35 MeV การใช้สมนติฐานดังกล่าวที่เพื่อลดเวลาของการจำลองที่ยาวนานพิเศอร์ลัง

ให้อยู่ในระดับที่ไม่ใช้เวลานานเกินไป เหตุผลอีกประการหนึ่งของการใช้สมนติฐานนี้คือเนื่องจากการจำลองครั้งนี้ เป็นเพียงการศึกษาความเป็นไปได้เบื้องต้นของระบบตรวจจตุรulence ที่ใช้เทคนิค TNA โดยยังไม่เกี่ยวข้องกับการออกแบบระบบตรวจจตุรulence

- 2) เราไม่ได้ระบุชนิดของหัววัดรังสีแกมมาที่ใช้ในการจำลองในขณะที่ Bartko and Ruddy ซึ่งต้องการความรวดเร็วของหัววัดสามารถตัดแปลงรูปทรงได้ง่าย และราคาถูกจึงใช้หัววัดพลาสติก ทั้งนี้ เพราะเราสนใจเพียงการหาค่าฟลักซ์ของรังสีแกมมาเปรียบเทียบท่านนี้ และค่าดังกล่าวไม่ใช่กับชนิดของหัววัดรังสีดังนั้นจึงอาจเป็นประโยชน์ที่จะทำการจำลองโดยใช้นิวตรอนพลังงานเฉลี่ย 2.35 MeV จากแหล่งกำเนิดนิวตรอน ^{252}Cf และกำหนดชนิดของหัววัดรังสีแกมมา เช่น NaI(Tl) หรือ BGO ในโอกาสต่อไป

References

- Gozani, T. (1992). Advanced technology or contraband detection. Science Applications International Corporation. Santa Clara, California, p. D-1 - D-16.
- Michael, C.S., and Hoopengardner, R.L. (1992). Advanced technology for contraband detection. Science Applications International Corporation. Santa Clara, California, p. 31-43.
- Bartko, J., and Ruddy, F.H. (1996). Review of the development of the luggage explosive detection system. Westinghouse Science and Technology Center. Pittsburgh, PA 15235-5098, USA, p. 56-65.
- Radiation Shielding Information Center. (1993). MCNP 4A Monte Carlo N-particle Transport Code System. RSIC Computer Code Collection. Oak Ridge National Laboratory.